



بررسی شیمی آمفیبیول و کلینوپیروکسن در توده‌های آذرین قلیایی بزقوش، کلیبر و رزگاه، شمال غرب ایران

ناصر اشرفی^{۱*}، احمد جهانگیری^۲، نوریکو هسیب^۳

۱- گروه زمین‌شناسی، دانشگاه پیام نور، صندوق پستی ۱۹۳۹۵-۳۶۹۷، تهران، ایران

۲- گروه زمین‌شناسی، دانشگاه علوم طبیعی، دانشگاه تبریز

۳- انسستیتو فناوری محیطی و طبیعی، دانشگاه کاتزاراوا، ژاپن

(دریافت مقاله: ۹۱/۱۰/۱۳، نسخه نهایی: ۹۲/۳/۸)

چکیده: فوئیدسینیت‌های بزقوش، کلیبر و رزگاه در شمال غرب ایران و در استان آذربایجان شرقی واقع شده‌اند. این بررسی به شیمی کانی‌های آمفیبیول و کلینوپیروکسن توده‌های یاد شده در ارتباط با محیط زمین ساختی، ویژگی ماقمای سازنده و جانشینی‌های عنصری می‌پردازد. ترکیب شیمیایی آمفیبیول‌ها از منیزیوستینگزیت تا فروپارگازیت متغیر است. همچنین این بررسی نشان می‌دهد که آمفیبیول‌های کلیبر نسبت به بزقوش از لحاظ $\text{Ca}^{IV}\text{Al}=\text{SiNa}$ غنی بوده و جانشینی $\text{Ca}^{IV}\text{Al}=\text{SiNa}$ بین آن‌ها مهم بوده است. کلینوپیروکسن‌ها از نوع دیوپسید بوده و با توجه به نسبت‌های اتمی $\text{M}_2\text{Na}^{\text{M}1}\text{Fe}^{3+}$ تا اندازه‌ای بین کلینوپیروکسن‌ها مهم بوده است. ترکیب آمفیبیول‌ها و کلینوپیروکسن‌ها بیانگر جدایی آنها از یک ماقمای میاسکیتی وابسته به قوس‌های آتش‌شانی در فشارهای نسبتاً پایین است. ترمومبارومتری آمفیبیول‌ها بر اساس مقدار Al و Ti ، فشارهای 6 ± 1 و 7 ± 1 کیلوبار به ترتیب برای توده‌های بزقوش و کلیبر و دمای 900 ± 100 درجه‌ی سانتیگراد را نشان می‌دهد.

واژه‌های کلیدی: پارگازیت؛ دیوپسید؛ هستینگزیت؛ نفلین سینیت؛ کلیبر؛ بزقوش؛ رزگاه.

مقدمه

سیلیس، تا اشباع از سیلیس می‌توان اطلاعات جامعی در ارتباط با روند جدایش ماقمای میزبان و اشباع شدگی از Al و Si [۲] و گریزندگی اکسیژن در مرحله‌ی تبلور [۳،۱] به دست آورد. همچنین با بررسی مقادیر عناصر قلیایی، Al و Ti در پیروکسن‌ها می‌توان ماقمایی یا دگرنهادی بودن آن‌ها و ویژگی و جایگاه ماقمای سازنده‌ی (محیط زمین ساختی) را مشخص کرد [۴-۶]. در این مقاله، ویژگی‌های کانیایی و ترکیب شیمیایی آمفیبیول‌ها و کلینوپیروکسن‌های توده‌های اؤسن بالایی-الیگوسن بزقوش (نفلین سینیت)، کلیبر (قلیایی

بررسی روند ترکیبی آمفیبیول‌ها و کلینوپیروکسن‌ها می‌تواند برای تعیین روابط سنتگ شناختی بین سینیت‌های همزاد استفاده شود. کانی‌های آمفیبیول در سنگ‌های آذرین دارای ترکیب شیمیایی گستردۀ‌ای هستند و ترکیب آنها طی فرایندهای ماقمایی همانند جدایش بلورین، آلودگی پوسته‌ای و واکنش با شاره‌ها می‌تواند تغییر کند [۱]. کانی آمفیبیول از کانی‌های تیره اصلی سنگ‌های سینیتی است و با توجه به روند تغییر ترکیبی آمفیبیول‌ها از سنگ‌های نفوذی غیر اشباع از

* نویسنده مسئول، تلفن: ۰۴۴۳۶۲۶۶۹۹۹، نامبر: ۰۴۴۳۶۲۶۶۴۰۰، پست الکترونیکی: n_ashrafi@pnu.ac.ir

توده‌ی نفوذی بزقوش به ترتیب فراوانی از سنگ‌های بیوتیت سینیت نفلین دار، سودولوسویت سینیت، دایک‌های میکروگرانیتی، دایک‌های بازالتی و پگماتیت‌های سینیتی فوئیددار تشکیل شده است. بافت سنگ‌های تشکیل دهنده‌ی آن از دانه‌ای تا پورفیری تغییر می‌کند. سنگ میزبان این توده از سنگ‌های آتشفسانی و آذرآواری اتوسن شامل آندزیت پورفیری، تراکی آندزیت، تراکیت و توف تشکیل شده است. در شرق و جنوب آن، دگرگونی مجاورتی محدودی رخ داده و سنگ‌های میزبان به اپیدوت هورنفلس و یا کلریت هورنفلس دگرگون شده‌اند [۸].

سنگ نگاری

توده‌ی آذرین کلیبر: نفلین سینیت‌های نفلین سینیت‌های کلیبر با بافت دانه‌ای و ریز بلور پورفیری دانه‌دار مشخص می‌شوند. مهمترین و فراوان‌ترین کانی سنگ‌ساز در سنگ‌های نفلین سینیتی، پاتاسیم فلدسپار (شامل اورتوکلاز و آنورتوکلاز بر اساس بررسی‌های XRD)، که معمولاً با بافت‌های میکروپیریتی و پوئی‌کلیتیک و ماکل ساده به خصوص در انواع دارای بافت پورفیری مشخص می‌شود. پلاژیوکلازها بر اساس زوایای خاموشی غالباً در حد آلبیت تا الیگوکلاز بوده و گاهی دارای منطقه‌بندی و بافت پوئی‌کلیتیک‌اند. نفلین معمولاً کمتر از ۱۰ درصد بوده و به صورت دانه‌های بی‌شکل تا شش گوش حضور دارد. آمفیبول صورت دانه‌های بیشتری نسبت به توده‌ی بزقوش داشته و به صورت دانه‌های مجزا یا در حاشیه‌ی کلینوپیروکسن‌ها یافت می‌شود (شکل ۱ الف)؛ مقدار آن در برخی نمونه‌ها به بیش از ۱۰ درصد نیز می‌رسد. بیوتیت در مقادیر معمولاً کمتر از ۵ درصد در سنگ‌های نفلین سینیتی مشاهده می‌شود. گارنت در سنگ‌های فوئیددار تفرقه‌تر به صورت شکل‌دار و بین دانه‌های یافت می‌شود؛ گارنت ویژگی‌های نوع ملانیت (تیتانیوم آندرادیت) را نشان می‌دهد [۹]. تیتانیت معمولاً به صورت شکل‌دار و انباستی در کنار آمفیبول مشاهده می‌شود.

بافت سنگ‌های قلیایی گابرو/دیوریت دانه‌دار بوده و معمولاً از کانی‌های پلاژیوکلاز، کلینوپیروکسن، بیوتیت، آمفیبول، پاتاسیم فلدسپار، اکسیید Fe-Ti و نفلین تشکیل شده‌اند. پلاژیوکلازها گاهی منطقه‌بندی نشان می‌دهند. کلینوپیروکسن‌ها شکل‌دار تا نیمه شکل‌دار بوده و رنگشان سبز کمرنگ یا قهوه‌ای کمرنگ‌اند. مقدار کلینوپیروکسن تا ۳۵ درصد می‌رسد. آمفیبول‌ها به صورت نیمه شکل‌دار بوده، رنگ زرد قهوه‌ای تا قهوه‌ای متمایل به سیز داشته و بافت پوئی‌کلیتیک نشان می-

گابرو، کلینوپیروکسنیت و نفلین سینیت) و رزگاه (سودولوسویت سینیت و سینودیوریت)، به منظور بررسی ارتباط ژنتیکی با یکدیگر و آشکار ساختن ویژگی‌های ماقمای سازنده آن‌ها مورد بررسی قرار گرفته‌اند.

روش کار

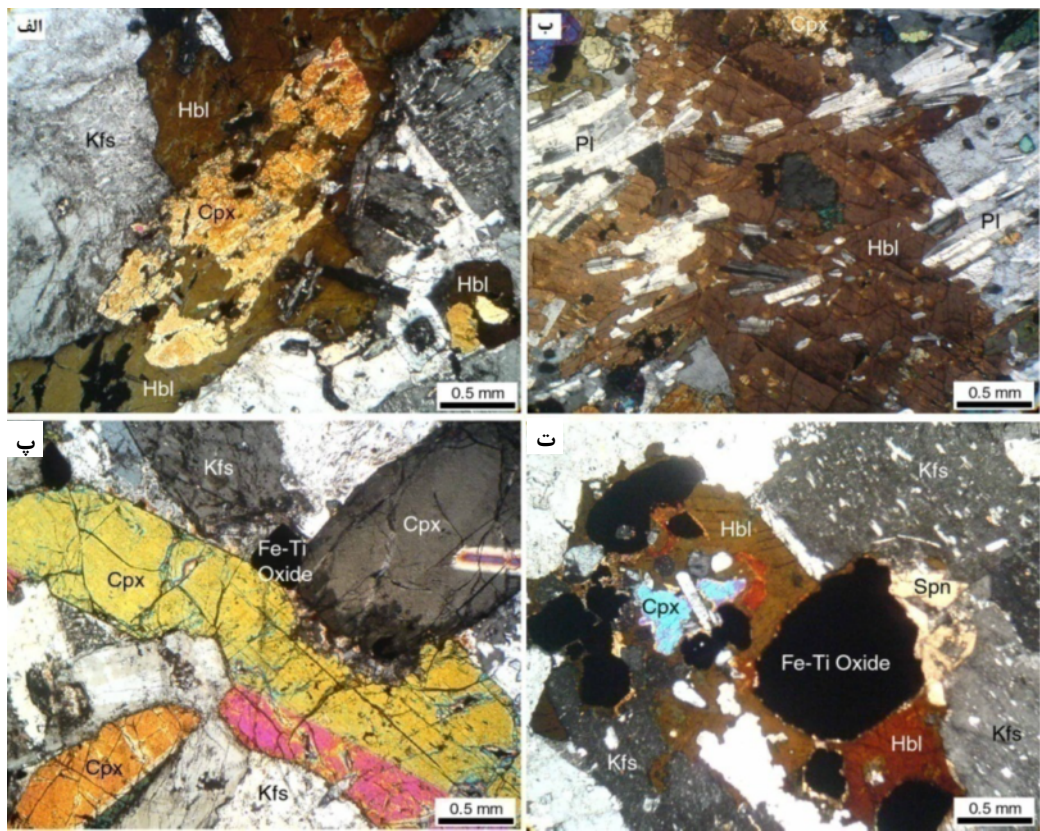
در این بررسی، مقاطع نازک میکروسکوپی توده‌های فوئیدسینیتی بزقوش، رزگاه و کلیبر همراه با نمونه‌های کلینوپیروکسنیتی و قلیایی گابرویی کلیبر با میکروسکوپ قطبی بررسی و پس از مشخص شدن ویژگی‌های کانی‌شناسی و سنگ‌نگاشتی، نمونه‌های مناسب انتخاب و تجزیه نقطه‌ای روی برخی کانی‌های آن‌ها صورت گرفت. اغلب تجزیه‌های نقطه‌ای (جدول‌های ۱ تا ۵) در دانشگاه کانازارا ژاپن به وسیله ریزپردازش الکترونی JEOL JXA-8800R با ولتاژ شتابدهنده ۲۰ kV، شدت جریان ۲۰ nA و قطر نقطه آنالیز ۳ μm صورت پذیرفته است. تعدادی از تجزیه‌ها (جدول ۶) در مرکز تحقیقات فرآوری مواد معدنی ایران به وسیله ریز پردازش الکترونی Cameca SX100(WDS) با ولتاژ شتابدهنده ۱۵kV و شدت جریان ۱۵nA انجام شده است.

زمین‌شناسی

ترکیب توده‌ی نفوذی کلیبر به ترتیب فراوانی از سینیت نفلین‌دار، سینیت، دیوریت/گابروی نفلین‌دار، مونزونیت تا گرانودیوریت تغییر می‌کند. این توده در شمال و غرب، شیست و ماسه سنگ‌های کرتاسه و در بخش جنوبی، سنگ‌های آتشفسانی و آهکی-شیلی کرتاسه بالایی را قطع کرده و سنگ‌های مجاور آن به کوارتزیت، مرمر و هورنفلس‌های بیوتیت-آلبیت دار تبدیل شده‌اند [۷]. پیروکسنیت (کلینوپیروکسنیت) و سنگ‌های غنی از پیروکسن و هورنبلند به صورت نابرجا و در مقادیر کم در نزدیکی روتاستای پیغام؛ همچنین به صورت برونبوم در داخل سنگ‌های نفلین سینیتی همراه با قلیایی گابرو در مجاور روتاستای کلالق مشاهده می‌شوند.

توده‌ی آذرین رزگاه اساساً از سودولوسویت سینیت، سودولوسویتولیت و قلیایی گابرو/دیوریت تشکیل شده است. برخورده‌گاه این توده با سنگ‌های قدیمی‌تر مشخص نیست و رسوب‌های کواترنر آن را احاطه کرده‌اند. با این وجود از سازنده‌های موجود در نزدیکی این توده‌ی آذرین می‌توان به آتشفسانی‌های اتوسن شامل آندزیت‌بازالتی و بازالت‌الیوین دار در شمال و واحدهای میوسن شامل مارن ژیپس‌دار، آهک مارنی و ژیپس اشاره کرد.

سودولوسیت به صورت بلورهای ذوزنقه‌وجهی کامل (تا ۲ سانتی متر) و انباشت (یا گلومروپورفیریتیک تا ۵ سانتی متر) مشاهده می‌شود. پتاسیم فلدسپار فراوانترین کانی در سودولوسیت سینیت‌هاست و بندرت حالت میکروپرتوئی دارد؛ همچنین این کانی با داشتن بافت پوئی کیلیتیک، ماکل کارلسپاد و رس-شدگی شدید بویژه در هسته‌ی خود مشخص می‌شود. پلازیوکلاز در مقادیر کمتر حضور داشته و گاهی زئولیت‌شدگی و رس‌شدگی مشخصی را نشان می‌دهد. معمولاً پلازیوکلازها ماکل ظرفی و رده‌بندی نشان می‌دهند. نفلین معمولاً کمتر از ۱۰ درصد در نمونه‌ها حضور دارد. کلینوپیروکسن معمولاً قهوه‌ای درصد در نمونه‌ها رفته دارد. کلینوپیروکسن در این سنگها ای کمنگ بوده و به شکل بلورهای منشوری طویل که طول آنها تا ۱ سانتی‌متر نیز می‌رسد، به عنوان مهمترین کانی فرومیزین این سنگ‌ها محسوب شده و مقدارش به حدود ۵ درصد می‌رسد (شکل ۱ پ). الیوین در اغلب نمونه‌ها حضور داشته؛ مقدارش کمتر از ۳ درصد بوده و به صورت تازه و ایدینگزیته شده یافته می‌شود. آپاتیت مهمترین کانی عارضه‌ای به شمار رفته تا آنجا که مقدار آن تا ۲ درصد نیز می‌رسد.



شکل ۱ تصاویر میکروسکوپی از آمفیبولها و کلینوپیروکسنها؛ (الف) تشکیل آمفیبول در حاشیه کلینوپیروکسن در نفلین سینیت کلیبر؛ (ب) آمفیبول درشت پوئی کلیتیک در آلکالی گابرو کلیبر؛ (پ) بلورهای کشیده و ماکلدار کلینوپیروکسن در سودولوسیت سینیت رزگاه؛ و (ت) بلور درشت آمفیبول در کنار کلینوپیروکسن، تیتانیت و اکسید آهن-تیتانیوم در نفلین سینیت برقوش.

دهد (شکل ۱ ب). بیوتیت فراوانی بیشتری نسبت به آمفیبول دارد و دارای ترکیب بیوتیت منیزیم‌دار است [۱۰]. پتاسیم فلدسپارها معمولاً به صورت میان دانه‌ای بوده و گاهی حالت میکروپرتوئی دارند. در سنگ‌های کلینوپیروکسنیتی، کانی کلینوپیروکسن (دیوپسید) معمولاً بیش از ۸۰ درصد سنگ را تشکیل داده و رنگ آن از قهوه‌ای کمرنگ تا سبز کمرنگ متغیر است. اکسیدهای Fe-Ti به صورت میان دانه‌ای و شکل دار بوده که گاهی دارای ادخال‌های سبز رنگ اسپینل دیده می‌شوند. در این سنگ‌ها در مواردی پیروکسن‌ها با حاشیه‌ای از آمفیبول و یا بیوتیت مشاهده می‌شوند. فراوانی آمفیبول در این سنگ‌ها گاهی به بیش از ۳۰ درصد سنگ می‌رسد که در این حالت معمولاً پتاسیم فلدسپار و پلازیوکلاز سنگ را همراهی می‌کنند. توده آذرین رزگاه: سودولوسیت به عنوان کانی شاخص و فراوان در سودولوسیتولیت به شمار رفته و معمولاً بیش از ۵۰ درصد سنگ را تشکیل می‌دهد. مقدار آن در سودولوسیت سینیت‌ها معمولاً بین ۳۰ تا ۵۰ درصد بوده و در کنار سنگ‌های بخش حاشیه‌ای به کمتر از ۱۰ درصد نیز می‌رسد.

فروپارگازیت₂(Fe²⁺)₄Al)Si₆Al₂O₂₂(OH)₂ و نفلین NaCa₂(Fe²⁺)₄Al)Si₆Al₂O₂₂(OH)₂ سینیت برقوش فروپارگازیت است (شکل ۲). فرمول معرف آمفیبول (پارگازیت) برقوش می‌تواند به صورت Na_{0.72}K_{0.40}Ca_{1.92}Na_{0.04}Mn_{0.03}(Fe²⁺)_{2.70}Mg_{1.53}Ti_{0.40}Al_{0.28}Mn_{0.04}Fe³⁺_{0.02})Si_{6.08}Al_{1.92}O₂₂(OH)₂ در نظر گرفته شود. بنابراین فرمول، مقادیر قابل توجهی از K در موقعیت A وارد شده و این خود موجب شده است که مجموع کاتیون‌های

جدول ۱ نتایج تجزیه‌ی نقطه‌ای آمفیبول‌های آلکالی گابروی کلیبر.

Sample	2K1	2K2	2K3	2K4	2K5	2K6	2K7	2K8	2K9	2K10
SiO ₂	۳۸.۷۴	۳۸.۵۸	۳۸.۸۷	۳۸.۸۳	۳۸.۷۷	۳۹.۱۳	۳۸.۷۳	۳۸.۹۳	۳۸.۹۰	۳۹.۰۰
TiO ₂	۲.۶۳	۲.۵۶	۲.۵۷	۲.۶۶	۲.۵۹	۲.۵۴	۲.۰۷	۲.۲۲	۲.۲۹	۲.۲۰
Al ₂ O ₃	۱۳.۵۸	۱۳.۴۸	۱۳.۵۸	۱۳.۶۰	۱۳.۵۳	۱۳.۷۲	۱۳.۷۵	۱۳.۸۲	۱۳.۵۷	۱۳.۶۳
FeO	۱۷.۷۸	۱۷.۸۵	۱۷.۷۱	۱۷.۸۳	۱۷.۸۰	۱۷.۶۸	۱۸.۱۱	۱۷.۸۳	۱۸.۱۲	۱۷.۷۰
MnO	۰.۴۹	۰.۴۶	۰.۴۵	۰.۴۵	۰.۴۳	۰.۴۲	۰.۴۴	۰.۴۵	۰.۴۴	۰.۴۸
MgO	۹.۰۳	۹.۰۹	۹.۰۷	۹.۱۷	۹.۱۹	۹.۲۹	۹.۱۵	۹.۲۲	۹.۲۲	۹.۳۶
CaO	۱۱.۹۲	۱۱.۸۵	۱۱.۸۷	۱۱.۷۲	۱۱.۹۱	۱۱.۸۳	۱۱.۸۷	۱۱.۸۱	۱۱.۸۰	۱۱.۸۵
Na ₂ O	۲.۳۲	۲.۲۲	۲.۱۹	۲.۲۶	۲.۲۲	۲.۲۱	۲.۲۱	۲.۲۱	۲.۲۴	۲.۲۱
K ₂ O	۲.۳۸	۲.۴۲	۲.۴۴	۲.۴۴	۲.۳۵	۲.۴۰	۲.۴۳	۲.۴۴	۲.۴۳	۲.۴۴
Total	۹۸.۸۶	۹۸.۴۹	۹۸.۷۴	۹۸.۶۶	۹۸.۷۸	۹۹.۲۱	۹۸.۷۷	۹۸.۹۵	۹۸.۱۲	۹۸.۸۷
Cations on the basis of 23 (O)										
T site										
Si	۵۹.۴	۵۸.۹۶	۵۹.۲۲	۵۹.۳	۵۹.۰۰	۵۹.۱۹	۵۸.۹۳	۵۹.۷	۵۸.۹۶	۵۹.۲۰
Al	۲۰.۹۶	۲۱.۱۴	۲۰.۷۷	۲۰.۹۷	۲۱.۰۰	۲۰.۸۱	۲۰.۰۷	۲۰.۹۳	۲۱.۰۴	۲۰.۸۰
Sum	۱۰۰	۱۰۰	۱۰۰	۱۰۰	۱۰۰	۱۰۰	۱۰۰	۱۰۰	۱۰۰	۱۰۰
C site										
Al	۰.۳۴۲	۰.۳۲۳	۰.۳۵۹	۰.۳۷۷	۰.۳۲۵	۰.۳۶۵	۰.۳۵۶	۰.۳۷۷	۰.۳۱۹	۰.۳۵۶
Fe ³⁺	۰.۰۷۵	۰.۱۳۰	۰.۰۸۷	۰.۱۳۰	۰.۱۳۳	۰.۱۲۷	۰.۰۲۲	۰.۱۷۰	۰.۰۲۴	۰.۱۷۷
Ti	۰.۳۰۲	۰.۲۹۴	۰.۲۹۴	۰.۳۰۴	۰.۲۹۶	۰.۲۸۹	۰.۲۲۷	۰.۲۵۴	۰.۲۶۱	۰.۲۵۱
Mg	۲۰.۰۵۲	۲۰.۰۷۱	۲۰.۰۶۰	۲۰.۰۷۸	۲۰.۰۸۵	۲۰.۰۹۵	۲۰.۰۷۶	۲۰.۰۸۶	۲۰.۰۵	۲۰.۱۱۸
Fe ²⁺	۲۱.۹۱	۲۱.۱۵۱	۲۱.۱۷	۲۱.۱۲۳	۲۱.۱۲۳	۲۰.۹۸	۲۰.۸۰	۲۰.۸۴	۲۰.۶۴	۲۰.۶۶
Mn	۰.۰۳۹	۰.۰۳۲	۰.۰۲۹	۰.۰۲۹	۰.۰۲۹	۰.۰۲۷	۰.۰۲۹	۰.۰۲۹	۰.۰۲۸	۰.۰۲۱
Ca	۰.۰۰۰	۰.۰۰۰	۰.۰۰۰	۰.۰۰۰	۰.۰۰۰	۰.۰۰۰	۰.۰۰۰	۰.۰۰۰	۰.۰۰۰	۰.۰۰۰
Sum	۱۰۰	۱۰۰	۱۰۰	۱۰۰	۱۰۰	۱۰۰	۱۰۰	۱۰۰	۱۰۰	۱۰۰
B site										
Fe ²⁺	۰.۰۰۰	۰.۰۰۰	۰.۰۰۰	۰.۰۰۰	۰.۰۰۰	۰.۰۰۰	۰.۰۰۰	۰.۰۰۰	۰.۰۱۱	۰.۰۰۳
Mn	۰.۰۲۵	۰.۰۲۸	۰.۰۲۹	۰.۰۲۹	۰.۰۲۷	۰.۰۲۷	۰.۰۲۹	۰.۰۲۹	۰.۰۲۹	۰.۰۳۱
Ca	۱.۹۴۷	۱.۹۴۰	۱.۹۳۸	۱.۹۰۹	۱.۹۴۳	۱.۹۱۷	۱.۹۳۵	۱.۹۲۰	۱.۹۱۵	۱.۹۲۶
Na	۰.۰۲۹	۰.۰۳۲	۰.۰۲۹	۰.۰۲۹	۰.۰۲۹	۰.۰۲۷	۰.۰۲۹	۰.۰۲۹	۰.۰۲۹	۰.۰۲۹
Sum	۲.۰۰	۲.۰۰	۲.۰۰	۲.۰۰	۲.۰۰	۲.۰۰	۲.۰۰	۲.۰۰	۲.۰۰	۲.۰۰
A site										
Ca	۰.۰۰۰	۰.۰۰۰	۰.۰۰۰	۰.۰۰۰	۰.۰۰۰	۰.۰۰۰	۰.۰۰۰	۰.۰۰۰	۰.۰۰۰	۰.۰۰۰
Na	۰.۶۵۶	۰.۶۲۵	۰.۶۱۵	۰.۶۱۹	۰.۶۲۴	۰.۶۰۴	۰.۶۱۸	۰.۶۰۸	۰.۶۱۴	۰.۶۱۲
K	۰.۴۶۲	۰.۴۷۱	۰.۴۷۴	۰.۴۷۳	۰.۴۵۷	۰.۴۶۲	۰.۴۷۲	۰.۴۷۳	۰.۴۷۰	۰.۴۷۲
Sum	۱.۱۱۷	۱.۰۹۶	۱.۰۹	۱.۰۹۱	۱.۰۸۱	۱.۰۶۶	۱.۰۹۰	۱.۰۸۱	۱.۰۸۴	۱.۰۸۴
Cations	۱۶.۱۱۷	۱۶.۰۹۶	۱۶.۰۹۰	۱۶.۰۹۱	۱۶.۰۸۱	۱۶.۰۶۶	۱۶.۰۹۰	۱۶.۰۸۱	۱۶.۰۸۴	۱۶.۰۸۴
Sum_Oxy	۲۲.۰۰۷	۲۲.۰۰۷	۲۲.۰۰۷	۲۲.۰۰۷	۲۲.۰۰۷	۲۲.۰۰۷	۲۲.۰۰۷	۲۲.۰۰۷	۲۲.۰۰۷	۲۲.۰۰۷
Mg(Mg ²⁺ +Fe ²⁺)	۰.۴۸۴	۰.۴۹۱	۰.۴۸۷	۰.۴۹۳	۰.۴۹۵	۰.۴۹۸	۰.۴۹۹	۰.۴۹۹	۰.۵۰۴	۰.۵۰۶

توده آذرین برقوش: سینیت‌های نفلین دار ترکیب غالب توده آذرین آلکالن برقوش را تشکیل می‌دهند. پاتسیم فلدسپار کانی فراوان و اصلی در این سنگها بوده و غالباً بافت میکروپریتی دارد. پلازیوکلازها بر اساس زاویه‌ی خاموشی و ماکل‌بنده ترکیب آلبیت تا الیگوکلاز دارند. در برخی نمونه‌ها پلازیوکلازها دارای منطقه‌بنده هستند. نفلین به صورت بلورهای مجرا و یا همرشدی با فلدسپارها یافت می‌شود. بیوتیت به عنوان مهمترین کانی آبدار تا مقادیر ۱۰ درصد در نمونه‌ها مشاهده شده و غالباً کانیهای کدر و مافیک را همراهی می‌کند. کلینوپیروکسن، به عنوان کانی فرعی، کمتر از ۵ درصد بوده؛ عموماً چند رنگی نداشته، گاهی بافت پوئی‌کلیتیک از خود نشان می‌دهد. الیوین در برخی نمونه‌ها در مقادیر کمتر از ۲ درصد حضور دارد. کانی اخیر عموماً در کنار سایر کانیهای تیره و اکسیدهای آهن مشاهده شده و گاهی به سیله ای-گابرو و نفلین‌سینیت کلیبر و سینیت نفلین دار برقوش در جدول‌های ۱، ۲ و ۳ ارائه شده‌اند. محاسبه‌ی عنصر سنجی به صورت میانگین روش ۱۵eNK و ۱۳eCNK و با فرض ۲۳ اکسیژن انجام گرفته است؛ لازم به یادآوری است که محاسبه به روش‌های ۱۵eNK و ۱۳eCNK به ترتیب کمترین و بیشترین نسبت آهن فریک را به دست می‌دهند. محاسبه و اختصاص Fe²⁺ و Fe³⁺ به موقعیت‌های مربوطه به ویژه زمانی که Fe³⁺/(Fe³⁺ + ^{VII}Al) Mg/(Mg + Fe²⁺) آمفیبول‌ها نزدیک به ۰/۵ باشد مهم است، زیرا ممکن است برای یک ترکیب نامگذاری‌های متفاوتی صورت گیرد [۱۲، ۱۱].

بر اساس نمودار Si/Mg/(Mg + Fe²⁺) ترکیب آمفیبول‌های قلیایی گابرو و نفلین‌سینیت کلیبر NaCa₂(Mg₄Fe³⁺)Si₆Al₂O₂₂(OH)₂ و NaCa₂(Mg₄Fe³⁺)Si₆Al₂O₂₂(OH)₂ می‌بینیم.

جدول ۳ نتایج تجزیه‌ی نقطه‌ای آمفیبول‌های نفلین سینیت بزقوش

Sample	31B1	31B2	31B3	31B4	31B5	31B6	31B7	31B8	31B9	31B10
SiO ₂	۳۸,۸۱	۳۹,۳۵	۳۹,۷۰	۳۹,۴۰	۳۹,۱۲	۳۹,۳۶	۳۹,۳۹	۳۹,۶۶	۳۹,۲۰	۳۹,۲۰
TiO ₂	۳۸,۹	۳,۶۶	۳,۶۲	۳,۷۰	۳,۴۰	۳,۴۱	۳,۶۵	۳,۷۰	۳,۶۵	۳,۶۲
Al ₂ O ₃	۱۱,۹۹	۱۱,۸۴	۱۱,۹۹	۱۱,۹۳	۱۱,۹	۱۱,۸۷	۱۱,۹۹	۱۲,۱۴	۱۱,۹۹	۱۱,۹۴
FeO	۲۱,۲۵	۲,۱۰	۲,۰۲	۲,۰۳	۲,۱۴	۲,۲۷	۲,۰۷	۱۹,۸۸	۲,۰۶	۲,۰۴
MnO	۰,۶۰	۰,۶۲	۰,۵۷	۰,۵۴	۰,۶۳	۰,۶۸	۰,۵۹	۰,۵۰	۰,۵۷	۰,۵۹
MgO	۶,۴۵	۶,۷۹	۶,۹۲	۶,۷۸	۶,۲۱	۶,۳۱	۶,۶۲	۷,۱۶	۶,۷۵	۶,۹۴
CaO	۱۱,۵۵	۱۱,۶۶	۱۱,۵۹	۱۱,۵۳	۱۱,۵۸	۱۱,۶۸	۱۱,۵۵	۱۱,۵۲	۱۱,۵۶	۱۱,۵۸
Na ₂ O	۲,۰۱	۲,۶۷	۲,۵۷	۲,۶۰	۲,۵۳	۲,۳۹	۲,۵۸	۲,۷۳	۲,۵۶	۲,۵۷
K ₂ O	۱,۹۷	۱,۹۰	۱,۸۸	۱,۸۸	۱,۹۶	۰,۰۴	۱,۹۵	۱,۹۱	۲,۰۵	۱,۹۸
Total	۹۸,۵۹	۹۸,۵۶	۹۹,۰۴	۹۸,۷۷	۹۸,۶۸	۹۷,۵۲	۹۸,۵۹	۹۸,۹۹	۹۸,۶۵	۹۸,۶۶

Cations on the basis of 23 (O)

T site										
Si	۶,۰۸۵	۶,۱۳۹	۶,۱۴۵	۶,۱۲۷	۶,۱۱۵	۶,۰۹۲	۶,۱۴۲	۶,۱۳۶	۶,۱۰۸	۶,۰۹۸
Al	۱,۹۱۵	۱,۸۶۱	۱,۸۵۵	۱,۸۷۷	۱,۸۸۰	۱,۹۰۸	۱,۸۵۸	۱,۸۶۴	۱,۸۹۷	۱,۹۰۲
Sum	۸,۰۰۰	۸,۰۰۰	۸,۰۰۰	۸,۰۰۰	۸,۰۰۰	۸,۰۰۰	۸,۰۰۰	۸,۰۰۰	۸,۰۰۰	۸,۰۰۰
C site										
Al	۰,۲۸۹	۰,۳۱۵	۰,۳۳۰	۰,۳۱۳	۰,۳۰۸	۰,۲۵۵	۰,۳۴۴	۰,۳۴۸	۰,۳۰۸	۰,۲۸۶
Fe ³⁺	۰,۰۰۰	۰,۰۰۰	۰,۰۰۰	۰,۰۰۰	۰,۰۰۰	۰,۰۳۷	۰,۰۰۰	۰,۰۰۰	۰,۰۰۰	۰,۰۰۰
Ti	۰,۳۸۷	۰,۴۲۷	۰,۴۲۱	۰,۴۳۳	۰,۴۰۰	۰,۲۸۰	۰,۴۲۸	۰,۴۳۱	۰,۳۹۳	۰,۴۲۴
Mg	۱,۵۰۲	۱,۵۷۸	۱,۵۹۷	۱,۵۷۱	۱,۴۴۶	۱,۴۵۵	۱,۵۰۰	۱,۵۰۱	۱,۵۶۷	۱,۶۰
Fe ²⁺	۲,۷۷۴	۲,۶۲۲	۲,۶۱۴	۲,۶۴۸	۲,۷۹۳	۲,۵۱۳	۲,۶۴۴	۲,۵۱۷	۲,۶۸۹	۲,۶۳۴
Mn	۰,۰۴۷	۰,۰۵۷	۰,۰۳۸	۰,۰۳۵	۰,۰۵۰	۰,۰۵۹	۰,۰۴۵	۰,۰۳۳	۰,۰۴۳	۰,۰۴۶
Ca	۰,۰۰۰	۰,۰۰۰	۰,۰۰۰	۰,۰۰۰	۰,۰۰۰	۰,۰۰۰	۰,۰۰۰	۰,۰۰۰	۰,۰۰۰	۰,۰۰۰
Sum	۰,۰۰۰	۰,۰۰۰	۰,۰۰۰	۰,۰۰۰	۰,۰۰۰	۰,۰۰۰	۰,۰۰۰	۰,۰۰۰	۰,۰۰۰	۰,۰۰۰
B site										
Fe ²⁺	۰,۰۰۰	۰,۰۰۰	۰,۰۰۰	۰,۰۰۰	۰,۰۰۰	۰,۰۰۰	۰,۰۰۰	۰,۰۰۰	۰,۰۰۰	۰,۰۰۰
Mn	۰,۰۳۲	۰,۰۲۴	۰,۰۳۶	۰,۰۳۵	۰,۰۲۸	۰,۰۲۹	۰,۰۳۲	۰,۰۳۳	۰,۰۳۲	۰,۰۳۲
Ca	۱,۹۲۲	۱,۹۴۸	۱,۹۲۲	۱,۹۲۲	۱,۹۴۹	۱,۹۳۷	۱,۹۳	۱,۹۰۹	۱,۹۴۹	۱,۹۳۰
Na	۰,۰۳۶	۰,۰۲۸	۰,۰۴۱	۰,۰۴۲	۰,۰۳۳	۰,۰۳۴	۰,۰۳۷	۰,۰۴۹	۰,۰۳۸	۰,۰۳۷
Sum	۲,۰۰۰	۲,۰۰۰	۲,۰۰۰	۲,۰۰۰	۲,۰۰۰	۲,۰۰۰	۲,۰۰۰	۲,۰۰۰	۲,۰۰۰	۲,۰۰۰
A site										
Ca	۰,۰۰۰	۰,۰۰۰	۰,۰۰۰	۰,۰۰۰	۰,۰۰۰	۰,۰۰۰	۰,۰۰۰	۰,۰۰۰	۰,۰۰۰	۰,۰۰۰
Na	۰,۷۲۴	۰,۷۰۰	۰,۷۳۰	۰,۷۴۱	۰,۷۲۳	۰,۷۸۲	۰,۷۲۱	۰,۷۶۹	۰,۷۲۵	۰,۷۷۷
K	۰,۳۹۱	۰,۳۷۷	۰,۳۷۲	۰,۳۷۳	۰,۳۹۱	۰,۰۰۷	۰,۳۸۹	۰,۳۷۷	۰,۴۰۷	۰,۳۹۳
Sum	۱,۱۱۵	۱,۱۵۷	۱,۱۰۲	۱,۱۱۱	۱,۱۲۴	۰,۶۸۹	۱,۱۳	۱,۱۴۶	۱,۱۴۲	۱,۱۲۰
Cations	۱۶,۱۱۵	۱۶,۱۷۵	۱۶,۱۰۳	۱۶,۱۱۵	۱۶,۱۲۴	۱۶,۱۸۹	۱۶,۱۳	۱۶,۱۴۶	۱۶,۱۴۲	۱۶,۱۲۰
Sum_Oxy	۲۳,۱۱۴	۲۳,۲۱۹	۲۳,۱۸۹	۲۳,۱۸۹	۲۳,۱۵۷	۲۳,۰۰۰	۲۳,۲۱۷	۲۳,۲۲۲	۲۳,۱۵۷	۲۳,۱۶۳
Mg(Mg+Fe ²⁺)	۰,۳۵۱	۰,۳۷۶	۰,۳۷۹	۰,۳۷۲	۰,۳۴۱	۰,۳۶۷	۰,۳۶۸	۰,۳۹۳	۰,۳۶۸	۰,۳۷۹

دارای نفلین در نورم (Monteregian Hills)، گابرو/دیوریت نفلین بهنجار، گرانیت و سینیت با کوارتز بهنجار، و سینیت WMMS (White Mountain Magma Series) پرقلیایی از مقدار مقایسه قرار گرفته است؛ چنانکه از نمودار (شکل ۲ ت) پیداست آمفیبول‌های مورد بررسی به ترتیب آمفیبول‌ها از سنگ‌های نفلین بهنجار Monteregian Hills شباهت داشته و از نظر مقادیر Ca^{IV}Al نسبت به انواع موجود در سنگ‌های کوارتز بهنجار غنی شده‌ترند [۴]. این نمودار و نمودار (شکل ۳ پ) همچنین نشان می‌دهد که آمفیبول‌های کلیبر نسبت به بزقوش از لحاظ Ca^{IV}Al غنی بوده و جانشینی

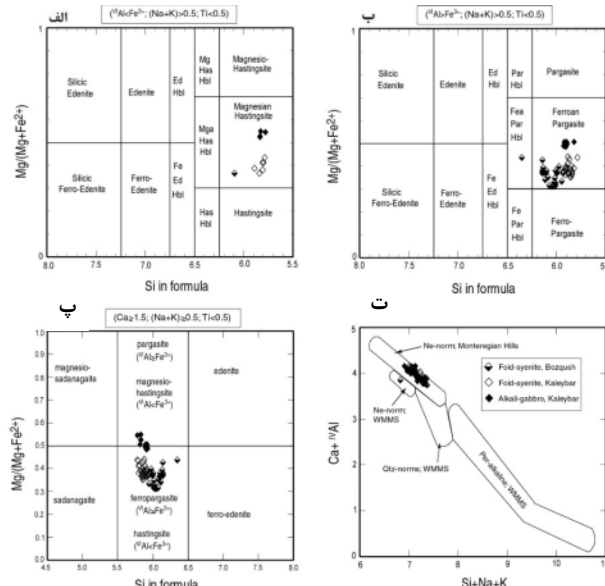
جدول ۲ نتایج تجزیه‌ی نقطه‌ای آمفیبول‌های نفلین سینیت کلیبر

Sample	63K1	63K2	63K3	63K4	63K5	63K6	63K7	63K8	63K9	63K10
SiO ₂	۳۷,۹۳	۳۷,۵۳	۳۷,۸۳	۳۷,۷۹	۳۸,۰۲	۳۷,۹۰	۳۸,۰۹	۳۷,۵۳	۳۷,۴۵	۳۷,۴۶
TiO ₂	۱,۷۵	۲,۲۳	۲,۶۱	۲,۸۱	۲,۹۲	۱,۹۴	۱,۸۷	۲,۲۱	۱,۸۶	۱,۸۸
Al ₂ O ₃	۱۳,۰۹	۱۳,۲۷	۱۲,۹۳	۱۲,۰۳	۱۲,۱۲	۱۲,۹۸	۱۲,۹۳	۱۲,۳۷	۱۲,۳۸	۱۲,۴۱
FeO	۲۱,۳۶	۲۱,۶	۲۰,۷۵	۲۰,۲۰	۲۰,۱۹	۲۱,۲۰	۲۱,۸۵	۲۲,۰۶	۲۲,۰۸	۲۲,۰۷
MnO	۰,۹۶	۰,۹۹	۰,۹۴	۰,۸۸	۰,۸۷	۰,۹۴	۱,۰۰	۰,۹۳	۱,۰۱	۱,۰۰
MgO	۶,۶۸	۶,۶۲	۶,۷۹	۷,۰۰	۷,۰۵	۶,۷۵	۶,۶۶	۶,۲۶	۶,۴۱	۶,۳۳
CaO	۱۱,۶۲	۱۱,۵۵	۱۱,۵۳	۱۱,۸۰	۱۱,۵۸	۱۱,۴۵	۱۱,۴۸	۱۱,۴۲	۱۱,۴۸	۱۱,۵۱
Na ₂ O	۲,۵۱	۲,۵۶	۲,۵۷	۲,۶۰	۲,۵۳	۲,۳۹	۲,۷۳	۲,۵۳	۲,۳۹	۲,۳۷
K ₂ O	۲,۲۶	۲,۲۸	۲,۲۰	۲,۲۷	۲,۲۴	۲,۲۰	۲,۲۷	۲,۲۸	۲,۲۱	۲,۲۴
Total	۹۸,۱۷	۹۸,۷۷	۹۸,۰۹	۹۸,۲۱	۹۸,۸۴	۹۷,۸۵	۹۸,۷۰	۹۸,۵۷	۹۸,۷۲	۹۸,۷۲

Cations on the basis of 23 (O)										
T site										
Si	۵,۹۳۰	۵,۸۴۵	۵,۹۱۹	۵,۹۰۱	۵,۹۱۴	۵,۹۳۶	۵,۹۳۱	۵,۸۵۵	۵,۸۴۱	۵,۸۴۴
Al	۲,۰۷	۲,۱۵۵	۲,۰۸۱	۲,۰۹۹	۲,۰۸۶	۲,۰۴۰	۲,۰۶۹	۲,۱۴۵	۲,۱۵۹	۲,۱۵۶
Sum	۸,۰۰۰	۸,۰۰۰	۸,۰۰۰	۸,۰۰۰	۸,۰۰۰	۸,۰۰۰	۸,۰۰۰	۸,۰۰۰	۸,۰۰۰	۸,۰۰۰
C site										
Al	۰,۳۴۱	۰,۲۷۹	۰,۳۰۱	۰,۲۹۸	۰,۳۱۷	۰,۳۰۰	۰,۳۰۲	۰,۳۱۱	۰,۲۹۸	۰,۳۱۶
Fe ³⁺	۰,۱۶۵	۰,۱۸۲	۰,۰۷۷	۰,۰۱۱	۰,۰۴۸	۰,۱۸۶	۰,۱۸۸	۰,۱۸۴	۰,۳۱۶	۰,۲۸۹
Ti	۰,۲۰۶	۰,۲۷۲	۰,۳۰۰	۰,۳۴۱	۰,۲۲۸	۰,۲۱۹	۰,۲۷۲	۰,۲۱۸	۰,۲۲۱	۰,۲۲۱
Mg	۱,۵۵۷	۱,۵۳۸	۱,۵۸۳	۱,۶۳۰	۱,۶۳۵	۱,۵۶۴	۱,۵۴۶	۱,۴۵۵	۱,۴۷۶	۱,۴۷۶
Fe ²⁺	۲,۶۲۹	۲,۶۲۲	۲,۶۱۴	۲,۶۴۸	۲,۷۹۳	۲,۵۱۳	۲,۵۷۹	۲,۵۹۱	۲,۶۳۲	۲,۵۹۹
Mn	۰,۱۰۳	۰,۰۹۷	۰,۰۹۳	۰,۱۰۴	۰,۰۸۱	۰,۱۰۱	۰,۱۱۳	۰,۱۰۴	۰,۱۰۰	۰,۱۰۰
Ca	۰,۰۰۰	۰,۰۰۰	۰,۰۰۰	۰,۰۰۰	۰,۰۰۰	۰,۰۰۰	۰,۰۰۰	۰,۰۰۰	۰,۰۰۰	۰,۰۰۰
Sum	۰,۰۰۰	۰,۰۰۰	۰,۰۰۰	۰,۰۰۰	۰,۰۰۰	۰,۰۰۰	۰,۰۰۰	۰,۰۰۰	۰,۰۰۰	۰,۰۰۰
B site										
Fe ²⁺	۰,۰۰۰	۰,۰۰۰	۰,۰۰۰	۰,۰۰۰	۰,۰۰۰	۰,۰۰۰	۰,۰۰۰	۰,۰۰۰	۰,۰۰۰	۰,۰۰۰
Mn	۰,۰۲۵	۰,۰۳۴	۰,۰۲۱	۰,۰۱۲	۰,۰۳۰	۰,۰۲۸	۰,۰۲۲	۰,۰۴۶	۰,۰۳۳	۰,۰۴۶

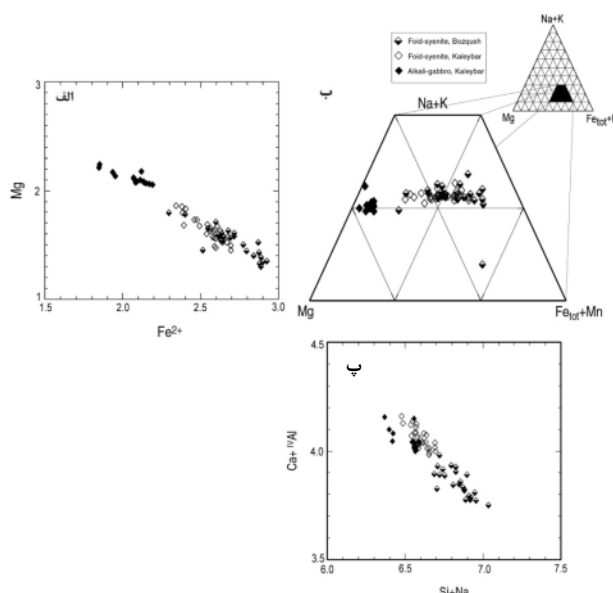
از آرایش دگرنهادی (کشیده شدن به گوشی $(Na+K)$ پیروی نمی‌کند و تبادل $Mg=Mn$ و $Mg=Fe$ بین آنها مهم بوده است (شکل ۳ ب).

$Ca^{IV}Al=SiNa$ در بین آنها مهم بوده است. جانشینی $Mg=Fe^{2+}$ نیز از مهم‌ترین جانشینی‌ها برای آمفیبول‌های مورد بررسی است (شکل ۳ الف). نمودار مثلثی- $Mg-(Na+K)-Fe_{tot}+Mn$ [۵] نشان می‌دهد که آمفیبول‌های مورد بررسی



شکل ۲ طبقه‌بندی آمفیبول‌های مورد بررسی؛ (الف) نمودار $Mg/(Mg+Fe^{2+})$ برای آمفیبول‌های با $VIAl < Fe^{3+}$ که در آن برخی آمفیبول‌ها در محدوده هستینگزیت منزیم دار ترسیم می‌شوند؛ (ب) نمودار $Mg/(Mg+Fe^{2+})$ برای آمفیبول‌های با $VIAl > Fe^{3+}$ که در آن معمولاً آمفیبول‌های مورد بررسی در محدوده پارگازیت آهندار واقع می‌شوند؛ (پ) نمودار Si در مقابل $Mg/(Mg+Fe^{2+})$ [۱۱] که تمام نقاط آنالیز شده در آن ترسیم شده‌اند؛ (ت) مقایسه آمفیبول‌های مورد بررسی با برخی آمفیبول‌ها از White WMMS و Monteregian Hills (Fold-syenite, Buzquish; Fold-syenite, Kaleybar; Alkal-gabbro, Kaleybar).

[۴] Mountain Magma Series)



شکل ۳ نمودارهای نشاندهنده‌ی برخی از جانشینی‌های عنصری مهم؛ (الف) نمودار Fe^{2+} در مقابل Mg ; (ب) نمودار مثلثی- $Mg-(Na+K)-Fe_{tot}+Mn$ [۵] نمودار $Si+Na+Mn$ در مقابل $Ca^{IV}Al$; (پ) نمودار $Si+Na$ در مقابل $Fe_{tot}+Mn$

تشکیل حاشیه با سدیک قابل ملاحظه، توسط آمفیبول احاطه شده‌اند. مقدار Na کلینوپیروکسن‌های مورد بررسی با Fe^{3+} برای هر یک از توده‌ها به ویژه رزگاه افزایش نشان می‌دهد، اگرچه این تغییرات زیاد محسوس نیست. این ویژگی می‌تواند بیانگر اهمیت جزئی عضو نهایی ازrin ($\text{NaFe}^{3+}\text{Si}_2\text{O}_6$) در کلینوپیروکسن‌های رزگاه باشد. بحث‌های زیادی مبنی بر اینکه چرا پیروکسن‌ها به سمت ازrin شکل می‌گیرند وجود دارد که

جدول ۴ نتایج تجزیه‌ی نقطه‌ای کلینوپیروکسن‌های نفلین سینیت
نیزه

Sample	16B6	16B8	16B10	31B1	31B3	31B5	31B7	31B8	31B9	31B12
SiO_2	۵۲.۳۹	۵۱.۸۷	۵۲.۳۱	۵۲.۷۹	۵۲.۷۹	۵۱.۸۷	۵۱.۷۷	۵۲.۰۴	۵۰.۵۰	۵۲.۶۲
TiO_2	۰.۸۹	۰.۴۷	۰.۵۸	۰.۴۸	۰.۴۹	۰.۸۳	۰.۸۷	۰.۹۲	۰.۷۲	۰.۴۹
Al_2O_3	۲.۲۶	۲.۵۲	۲.۵۱	۲.۰۵	۱.۶۷	۲.۲۳	۲.۲۶	۲.۲۳	۳.۲۲	۲.۰۵
FeO	۸.۷۶	۱۱.۸۷	۱۰.۳۵	۹.۰۰	۸.۶۲	۸.۶۹	۸.۸۸	۸.۷۹	۱۲.۶۷	۹.۱۴
Cr_2O_3	n.d.									
MnO	۰.۵۰	۰.۷۲	۰.۵۸	۰.۵۲	۰.۵۲	۰.۵۰	۰.۶۳	۰.۴۶	۰.۶۰	۰.۵۱
NiO	۰.۰۲	n.d.	n.d.	۰.۰۱	n.d.	۰.۰۱	۰.۰۰	۰.۰۰	۰.۰۱	۰.۰۲
MgO	۱۳.۶۶	۱۰.۷۲	۱۱.۶۲	۱۲.۷۸	۱۲.۰۱	۱۳.۶۱	۱۲.۶۶	۱۳.۵۱	۹.۹۱	۱۲.۵۲
CaO	۲۲.۵۱	۲۲.۶۶	۲۲.۸۱	۲۲.۱۳	۲۲.۲۶	۲۲.۲۳	۲۲.۴۵	۲۲.۴۸	۲۲.۸۰	۲۳.۱۳
Na_2O	۰.۷۴	۰.۹۶	۰.۹۴	۰.۷۲	۰.۵۹	۰.۶۵	۰.۶۶	۰.۶۷	۰.۸۸	۰.۷۱
K_2O	n.d.	n.d.	۰.۰۰	n.d.						
Total	۱۰۱.۸۳	۱۰۱.۸۰	۱۰۱.۷۱	۱۰۱.۴۹	۱۰۰.۹۵	۱۰۰.۸۱	۱۰۰.۶۶	۱۰۱.۱۹	۱۰۱.۳۳	۱۰۱.۱۹

Cations on the basis of 6 (O)

T site

Si	۱۹.۱۳	۱۹.۲۴	۱۹.۲۹	۱۹.۴۱	۱۹.۵۱	۱۹.۱۴	۱۹.۱۲	۱۹.۱۴	۱۸.۹۰	۱۹.۴۳
Al	۰.۰۸۷	۰.۰۷۶	۰.۰۷۱	۰.۰۵۹	۰.۰۴۹	۰.۰۸۶	۰.۰۸۸	۰.۰۸۶	۰.۱۱۰	۰.۰۵۷
Fe^{3+}	۰.۰۰۰	۰.۰۰۰	۰.۰۰۰	۰.۰۰۰	۰.۰۰۰	۰.۰۰۰	۰.۰۰۰	۰.۰۰۰	۰.۰۰۰	۰.۰۰۰

M1 site

Al	۰.۰۱۵	۰.۰۳۴	۰.۰۲۸	۰.۰۲۰	۰.۰۲۴	۰.۰۱۵	۰.۰۱۴	۰.۰۱۵	۰.۰۲۲	۰.۰۳۲
Ti	۰.۰۲۴	۰.۰۱۳	۰.۰۱۶	۰.۰۱۳	۰.۰۱۴	۰.۰۲۲	۰.۰۲۴	۰.۰۲۵	۰.۰۲۰	۰.۰۱۴
Fe^{3+}	۰.۰۷۵	۰.۰۸۵	۰.۰۸۰	۰.۰۵۳	۰.۰۴۰	۰.۰۷۲	۰.۰۷۲	۰.۰۷۲	۰.۱۰۲	۰.۰۴۸
Fe^{2+}	۰.۱۴۱	۰.۲۷۵	۰.۲۲۹	۰.۲۰۲	۰.۲۰۸	۰.۱۴۲	۰.۱۲۸	۰.۱۵۱	۰.۲۹۳	۰.۲۱۶
Cr	۰.۰۰۰	۰.۰۰۰	۰.۰۰۰	۰.۰۰۰	۰.۰۰۰	۰.۰۰۰	۰.۰۰۰	۰.۰۰۰	۰.۰۰۰	۰.۰۰۰
Mg	۰.۷۴۴	۰.۵۹۳	۰.۶۳۹	۰.۷۰۱	۰.۷۱۷	۰.۷۴۹	۰.۷۵۱	۰.۷۴۱	۰.۵۵۳	۰.۶۸۹
Ni	۰.۰۰۱	۰.۰۰۰	۰.۰۰۰	۰.۰۰۰	۰.۰۰۰	۰.۰۰۰	۰.۰۰۰	۰.۰۰۰	۰.۰۰۱	۰.۰۰۰

M2 site

Mg	۰.۰۰۰	۰.۰۰۰	۰.۰۰۰	۰.۰۰۰	۰.۰۰۰	۰.۰۰۰	۰.۰۰۰	۰.۰۰۰	۰.۰۰۰	۰.۰۰۰
Fe^{2+}	۰.۰۵۱	۰.۰۰۸	۰.۰۱۳	۰.۰۲۱	۰.۰۲۱	۰.۰۵۵	۰.۰۵۱	۰.۰۵۲	۰.۰۰۲	۰.۰۱۸
Mn	۰.۰۱۵	۰.۰۲۳	۰.۰۱۸	۰.۰۱۶	۰.۰۱۶	۰.۰۱۶	۰.۰۱۳	۰.۰۱۴	۰.۰۱۹	۰.۰۱۶
Ca	۰.۸۸۱	۰.۹۰۰	۰.۹۰۲	۰.۹۱۱	۰.۹۲۱	۰.۸۸۳	۰.۸۸۸	۰.۸۸۶	۰.۹۱۴	۰.۹۱۵
Na	۰.۰۵۲	۰.۰۸۹	۰.۰۶۸	۰.۰۵۱	۰.۰۴۲	۰.۰۴۷	۰.۰۴۷	۰.۰۴۸	۰.۰۶۴	۰.۰۵۱
K	۰.۰۰۰	۰.۰۰۰	۰.۰۰۰	۰.۰۰۰	۰.۰۰۰	۰.۰۰۰	۰.۰۰۰	۰.۰۰۰	۰.۰۰۰	۰.۰۰۰
Cations	۰.۰۰۰	۰.۰۰۰	۰.۰۰۰	۰.۰۰۰	۰.۰۰۰	۰.۰۰۰	۰.۰۰۰	۰.۰۰۰	۰.۰۰۰	۰.۰۰۰
Wo	۴۶.۱۶۶	۴۷.۷۹۴	۴۸.۰۰۳	۴۷.۸۴۲	۴۷.۹۵۵	۴۶.۰۹۶	۴۶.۴۰۱	۴۶.۳۵۱	۴۸.۵۶۰	۴۸.۰۷۱
En	۲۸.۹۹۷	۲۱.۴۵۴	۲۴.۰۲۱	۲۶.۷۸۷	۲۷.۲۲۴	۲۹.۰۸۹	۲۹.۲۲۲	۲۸.۷۶۱	۲۹.۳۶۲	۲۶.۲۲۹
Fs	۱۴.۸۷۱	۲۰.۷۵۲	۱۷.۹۶۶	۱۵.۳۷۱	۱۴.۷۲۱	۱۴.۸۱۵	۱۴.۳۷۷	۱۴.۸۸۸	۲۲.۰۷۸	۱۵.۶۷۴

ترکیب شیمیایی کلینوپیروکسن‌ها

فرمول عمومی کانی‌های گروه پیروکسن به صورت $\text{M}_2\text{M}_1\text{T}_2\text{O}_6$, $[\text{M}_2(\text{M}_1)(\text{Si}, \text{Al})_2\text{O}_6]$, است که مکان M2 بهوسیله‌ی Ca (پیروکسن- Ca)، M1 بهوسیله‌ی Fe²⁺, Mn, Cr, Al, Mg و T بهوسیله‌ی En, Fe³⁺, Ti, Si و T بهوسیله‌ی Fs می‌باشد. ترکیب شیمیایی کلینوپیروکسن‌های مردمانه در جدول‌های ۴، ۵ و ۶ ارائه شده‌اند. ردیابی کلینوپیروکسن‌های مردمانه براساس نمودار $\text{Q}-\text{J}$ نشان می‌دهد که آنها جزو کلینوپیروکسن‌های En-Wo- Fe_{tot} هستند (شکل ۴). همچنان براساس نمودار مثلثی En-Wo-Fs آنها غالباً ترکیب دیپسید داشته و تغییرات در اعضای نهایی غالباً به صورت تبدیل En و Fs است که جایگزینی استانتیت بهوسیله‌ی فروسیلیت در طول تبلور جدایش را به نمایش می‌گذارد [۱۵, ۱۶].

ترسیم ضریب جدایش (Na-Mg) نسبت به Na برای کلینوپیروکسن‌های مورد بررسی، که روند مثبت نشان می‌دهند (شکل ۵ ب، ت)، و نیز $\text{Na}^{+}\text{Al}^{\text{IV}}$ نسبت به Al^{VI} (شکل ۶) پیداست کلینوپیروکسن- Al^{VI} که در آن غالباً کلینوپیروکسن‌های مردمانه بررسی روی یا نزدیک به خط ایده ال ۱:۱ می‌شوند (شکل ۵). نسبت $\text{M}_2\text{Ca}^{\text{M}^{\text{II}}}\text{M}^{\text{III}}\text{Fe}^{2+}, \text{Mg}$ (جاشینی) می‌شوند و در گستره بالای خط $\text{Al}^{\text{VI}}/\text{Al}=2$ واقع شده‌اند. اند که نشانگر غنی نشدن آنها از Ti بوده و می‌تواند بیانگر اهمیت جاشینی CaAlSiAlO_6 در کلینوپیروکسن‌های مردمانه بررسی باشد.

بحث و بررسی

ترکیب پیروکسن‌ها در نفلین سینیت‌های میاسکیتی از دیپسید-هدنبزیت تا اوژیت در تغییر است؛ این ویژگی در پیروکسن‌های مورد بررسی صادق است. با توجه به اینکه پیروکسن‌های غنی از Na، از مagmaهای غنی از قلیایی‌ها متبلور می‌شوند؛ مقادیر پایین تر Al, Ti و Na در پیروکسن‌های مردمانه بررسی، احتمالاً نشانگر پیروکسن‌های با magmaهای مادر تحت اشباع از سیلیس ضعیف تا متوسط است [۴]. در سنگ‌های مردمانه بررسی، به استثنای سنگ‌های رزگاه، معمولاً شکل‌گیری کلینوپیروکسن‌ها با تبلور آمفیبول خاتمه یافته است. به عبارتی، در بیشتر موارد کلینوپیروکسن‌های مورد بررسی قبل از

جدول ۶ نتایج تجزیه‌ی نقطه‌ای کلینوپیروکسن‌های آلکالی گابرو و کلینوپیروکسنیت کلیبر

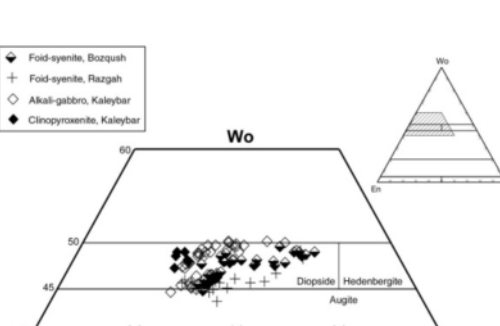
Sample	کلینوپیروکسنیت				آلکالی گابرو					
	2KP1	2KP2	2KP3	2KP4	2KP5	2K1	2K2	2K3	2K4	2K5
SiO_2	۴۷.۷٪	۴۸.۶٪	۴۸.۲٪	۴۸.۱٪	۴۸.۲٪	۵۲.۱٪	۵۰.۴٪	۵۰.۴٪	۴۸.۶٪	۴۷.۳٪
TiO_2	۰.۱٪	۰.۸٪	۰.۷٪	۰.۸٪	۰.۹٪	۰.۳٪	۰.۷٪	۰.۶٪	۰.۹٪	۰.۶٪
Al_2O_3	۵.۳٪	۵.۲٪	۳.۱٪	۵.۴٪	۵.۷٪	۲.۰٪	۲.۲٪	۲.۶٪	۴.۵٪	۵.۱٪
FeO	۵.۹٪	۶.۲٪	۶.۷٪	۶.۹٪	۶.۵٪	۶.۶٪	۷.۰٪	۷.۰٪	۹.۲٪	۱۰.۱٪
Cr_2O_3	۰.۱٪	۰.۰٪	۰.۲٪	۰.۰٪	۰.۰٪	۰.۰٪	۰.۰٪	۰.۰٪	۰.۰٪	۰.۰٪
MnO	۰.۱٪	۰.۰٪	۰.۰٪	۰.۰٪	۰.۰٪	۰.۰٪	۰.۰٪	۰.۰٪	۰.۰٪	۰.۰٪
NiO	۰.۰٪	۰.۰٪	۰.۰٪	۰.۰٪	۰.۰٪	۰.۰٪	۰.۰٪	۰.۰٪	۰.۰٪	۰.۰٪
MgO	۱۴.۵٪	۱۵.۰٪	۱۵.۶٪	۱۴.۶٪	۱۴.۷٪	۱۵.۸٪	۱۵.۱٪	۱۴.۱٪	۱۲.۲٪	۱۰.۷٪
CaO	۲۴.۰٪	۲۴.۲٪	۲۴.۷٪	۲۴.۹٪	۲۴.۷٪	۲۲.۲٪	۲۲.۰٪	۲۳.۹٪	۲۲.۰٪	۲۲.۱٪
Na_2O	۰.۷٪	۰.۲٪	۰.۳٪	۰.۲٪	۰.۲٪	۰.۸٪	۰.۶٪	۱.۰٪	۰.۹٪	۱.۰٪
K_2O	۰.۰٪	۰.۰٪	۰.۰٪	۰.۰٪	۰.۰٪	۰.۰٪	۰.۰٪	۰.۰٪	۰.۰٪	۰.۰٪
Total	۹۹.۱٪	۱۰۰.۰٪	۹۹.۲٪	۱۰۰.۰٪	۱۰۰.۰٪	۹۹.۹٪	۹۹.۹٪	۱۰۰.۰٪	۹۹.۸٪	۹۹.۸٪
Cations on the basis of 6 (O)										
T site										
Si	۱۷.۶٪	۱۷.۷٪	۱۷.۸٪	۱۷.۶٪	۱۷.۵٪	۱۷.۵٪	۱۸.۰٪	۱۸.۰٪	۱۷.۹٪	۱۷.۷٪
Al	۰.۲٪	۰.۲٪	۰.۱٪	۰.۲٪	۰.۲٪	۰.۲٪	۰.۱٪	۰.۱٪	۰.۱٪	۰.۲٪
Fe^{3+}	۰.۰٪	۰.۰٪	۰.۰٪	۰.۰٪	۰.۰٪	۰.۰٪	۰.۰٪	۰.۰٪	۰.۰٪	۰.۰٪
M1 site										
Al	۰.۰٪	۰.۰٪	۰.۰٪	۰.۰٪	۰.۰٪	۰.۰٪	۰.۰٪	۰.۰٪	۰.۰٪	۰.۰٪
Ti	۰.۲٪	۰.۲٪	۰.۲٪	۰.۲٪	۰.۲٪	۰.۲٪	۰.۲٪	۰.۲٪	۰.۲٪	۰.۲٪
Fe^{3+}	۰.۰٪	۰.۰٪	۰.۰٪	۰.۰٪	۰.۰٪	۰.۰٪	۰.۰٪	۰.۰٪	۰.۰٪	۰.۰٪
Fe^{2+}	۰.۱٪	۰.۱٪	۰.۱٪	۰.۱٪	۰.۱٪	۰.۱٪	۰.۱٪	۰.۱٪	۰.۱٪	۰.۱٪
Cr	۰.۰٪	۰.۰٪	۰.۰٪	۰.۰٪	۰.۰٪	۰.۰٪	۰.۰٪	۰.۰٪	۰.۰٪	۰.۰٪
Mg	۰.۴٪	۰.۱٪	۰.۴٪	۰.۴٪	۰.۴٪	۰.۴٪	۰.۴٪	۰.۴٪	۰.۴٪	۰.۴٪
Ni	۰.۰٪	۰.۰٪	۰.۰٪	۰.۰٪	۰.۰٪	۰.۰٪	۰.۰٪	۰.۰٪	۰.۰٪	۰.۰٪
M2 site										
Mg	۰.۰٪	۰.۰٪	۰.۰٪	۰.۳٪	۰.۰٪	۰.۱٪	۰.۰٪	۰.۰٪	۰.۰٪	۰.۰٪
Fe^{2+}	۰.۱٪	۰.۳٪	۰.۹٪	۰.۰٪	۰.۲٪	۰.۴٪	۰.۶٪	۰.۰٪	۰.۰٪	۰.۰٪
Mn	۰.۰٪	۰.۰٪	۰.۰٪	۰.۰٪	۰.۰٪	۰.۰٪	۰.۱٪	۰.۱٪	۰.۱٪	۰.۱٪
Ca	۰.۵٪	۰.۵٪	۰.۵٪	۰.۴٪	۰.۴٪	۰.۴٪	۰.۷٪	۰.۷٪	۰.۷٪	۰.۷٪
Na	۰.۳٪	۰.۴٪	۰.۴٪	۰.۴٪	۰.۴٪	۰.۴٪	۰.۴٪	۰.۴٪	۰.۴٪	۰.۴٪
K	۰.۰٪	۰.۰٪	۰.۰٪	۰.۰٪	۰.۰٪	۰.۰٪	۰.۰٪	۰.۰٪	۰.۰٪	۰.۰٪
Cations	۰.۰٪	۰.۰٪	۰.۰٪	۰.۰٪	۰.۰٪	۰.۰٪	۰.۰٪	۰.۰٪	۰.۰٪	۰.۰٪
Wo	۴۸.۹٪	۴۸.۵٪	۴۷.۱٪	۴۸.۱٪	۴۸.۹٪	۴۴.۵٪	۴۴.۵٪	۴۸.۵٪	۴۸.۹٪	۴۰.۰٪
En	۴۱.۳٪	۴۱.۶٪	۴۲.۴٪	۴۰.۷٪	۴۰.۵٪	۴۴.۱٪	۴۴.۱٪	۴۲.۰٪	۴۳.۷٪	۴۲.۰٪
Fs	۹.۶٪	۹.۸٪	۱۰.۲٪	۱۱.۱٪	۱۰.۴٪	۱۱.۲٪	۱۱.۹٪	۱۱.۹٪	۱۵.۶٪	۱۷.۸٪

جدول ۵ نتایج تجزیه‌ی نقطه‌ای کلینوپیروکسن‌های سودولوسیت سینیت رزگاه.

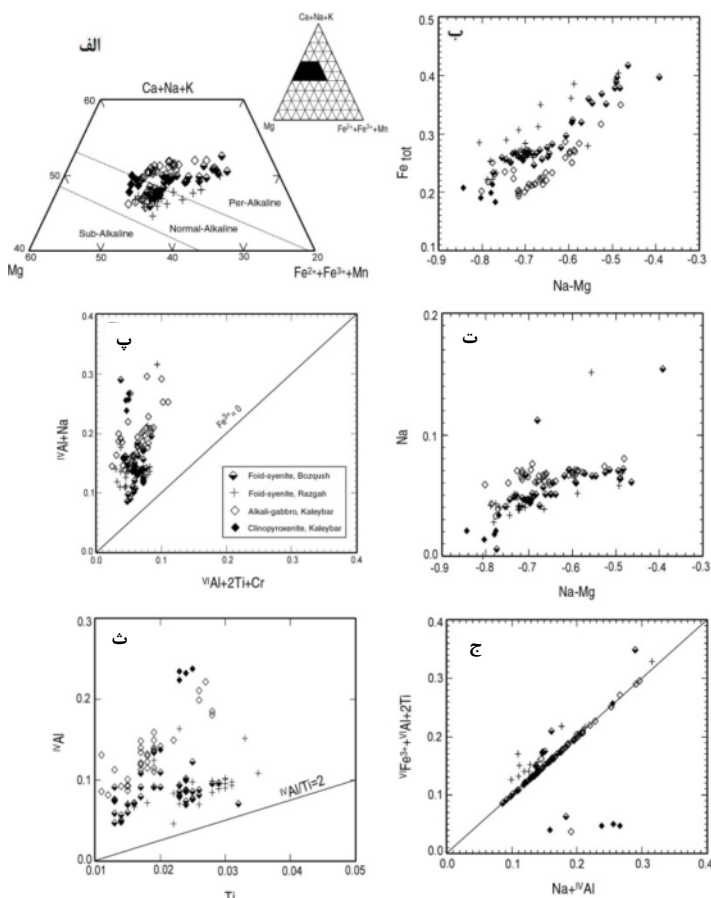
Sample	11R1	11R2	11R3	11R4	11R5	11R6	11R7	11R8	11R9	11R10
SiO_2	۵۱.۱٪	۵۱.۷٪	۵۱.۷٪	۵۱.۷٪	۵۱.۷٪	۵۱.۷٪	۵۱.۹٪	۵۱.۹٪	۵۱.۹٪	۵۱.۲٪
TiO_2	۱.۱٪	۱.۰٪	۱.۰٪	۱.۰٪	۱.۰٪	۱.۰٪	۱.۰٪	۱.۰٪	۱.۰٪	۰.۹٪
Al_2O_3	۲.۷٪	۲.۶٪	۲.۴٪	۲.۶٪	۲.۵٪	۲.۵٪	۲.۴٪	۲.۴٪	۲.۴٪	۲.۰٪
FeO	۸.۵٪	۸.۷٪	۸.۵٪	۸.۷٪	۸.۶٪	۸.۸٪	۸.۸٪	۸.۸٪	۸.۸٪	۸.۷٪
Cr_2O_3	n.d.									
MnO	۰.۴٪	۰.۴٪	۰.۴٪	۰.۴٪	۰.۴٪	۰.۴٪	۰.۴٪	۰.۴٪	۰.۴٪	۰.۴٪
NiO	۰.۰٪	n.d.	۰.۰٪							
MgO	۱۳.۸٪	۱۳.۷٪	۱۳.۹٪	۱۳.۹٪	۱۳.۸٪	۱۳.۶٪	۱۳.۸٪	۱۳.۸٪	۱۳.۸٪	۹.۸٪
CaO	۲۲.۰٪	۲۲.۲٪	۲۲.۴٪	۲۲.۱٪	۲۲.۱٪	۲۲.۱٪	۲۲.۰٪	۲۱.۹٪	۲۲.۹٪	۲۲.۴٪
Na_2O	۰.۴٪	۰.۵٪	۰.۵٪	۰.۵٪	۰.۵٪	۰.۵٪	۰.۵٪	۰.۵٪	۰.۵٪	۰.۴٪
K_2O	n.d.	۰.۰٪	n.d.	n.d.	n.d.	۰.۰٪	n.d.	n.d.	n.d.	۰.۰٪
Total	۱۰۱.۲٪	۱۰۱.۲٪	۱۰۰.۸٪	۱۰۱.۲٪	۱۰۰.۹٪	۱۰۰.۹٪	۱۰۰.۹٪	۱۰۱.۴٪	۱۰۰.۲٪	۱۰۰.۹٪

Cations on the basis of 6 (O)

	T site									
Si	۱۹.۰٪	۱۸.۹٪	۱۹.۰٪	۱۸.۹٪	۱۹.۰٪	۱۹.۰٪	۱۹.۱٪	۱۹.۰٪	۱۹.۱٪	۱۹.۱٪
Al	۰.۹٪	-۰.۱٪	-۰.۹٪	-۰.۱٪	-۰.۹٪	-۰.۹٪	-۰.۹٪	-۰.۸٪	-۰.۸٪	-۰.۷٪
Fe^{3+}	۰.۰٪	۰.۰٪	۰.۰٪	۰.۰٪	۰.۰٪	۰.۰٪	۰.۰٪	۰.۰٪	۰.۰٪	۰.۰٪
M1 site										
Al	۰.۲٪	-۰.۱٪	-۰.۱٪	-۰.۱٪	-۰.۱٪	-۰.۱٪	-۰.۱٪	-۰.۱٪	-۰.۱٪	-۰.۲٪
Ti	-۰.۲٪	-۰.۳٪	-۰.۲٪	-۰.۲٪	-۰.۲٪	-۰.۲٪	-۰.۲٪	-۰.۲٪	-۰.۲٪	-۰.۲٪
Fe^{3+}	-۰.۵٪	-۰.۷٪	-۰.۶٪	-۰.۷٪	-۰.۶٪	-۰.۵٪	-۰.۶٪	-۰.۶٪	-۰.۶٪	-۰.۶٪
Fe^{2+}	-۰.۱٪	-۰.۱٪	-۰.۱٪	-۰.۱٪	-۰.۱٪	-۰.۱٪	-۰.۱٪	-۰.۱٪	-۰.۱٪	-۰.۱٪
Cr	۰.۰٪	۰.۰٪	۰.۰٪	۰.۰٪	۰.۰٪	۰.۰٪	۰.۰٪	۰.۰٪	۰.۰٪	۰.۰٪
Mg	-۰.۷٪	-۰.۷٪	-۰.۷٪	-۰.۷٪	-۰.۷٪	-۰.۷٪	-۰.۷٪	-۰.۷٪	-۰.۷٪	-۰.۷٪
Ni	۰.۰٪	۰.۰٪	۰.۰٪	۰.۰٪	۰.۰٪	۰.۰٪	۰.۰٪	۰.۰٪	۰.۰٪	۰.۰٪
M2 site										
Mg	۰.۰٪	۰.۰٪	۰.۰٪	۰.۰٪	۰.۰٪	۰.۰٪	۰.۰٪	۰.۰٪	۰.۰٪	۰.۰٪
Fe^{2+}	-۰.۷٪	-۰.۷٪	-۰.۷٪	-۰.۷٪	-۰.۷٪	-۰.۷٪	-۰.۷٪	-۰.۷٪	-۰.۷٪	-۰.۷٪
Mn	-۰.۱٪	-۰.۱٪	-۰.۱٪	-۰.۱٪	-۰.۱٪	-۰.۱٪	-۰.۱٪	-۰.۱٪	-۰.۱٪	-۰.۱٪
Ca	-۰.۷٪	-۰.۷٪	-۰.۷٪	-۰.۷٪	-۰.۷٪	-۰.۷٪	-۰.۷٪	-۰.۷٪	-۰.۷٪	-۰.۷٪
Na	-۰.۳٪	-۰.۴٪	-۰.۴٪	-۰.۴٪	-۰.۴٪	-۰.۴٪	-۰.۴٪	-۰.۴٪	-۰.۴٪	-۰.۴٪
K	۰.۰٪	۰.۰٪	۰.۰٪	۰.۰٪	۰.۰٪	۰.۰٪	۰.۰٪	۰.۰٪	۰.۰٪	۰.۰٪
Cations	۰.۰٪	۰.۰٪	۰.۰٪	۰.۰٪	۰.۰٪	۰.۰٪	۰.۰٪	۰.۰٪	۰.۰٪	۰.۰٪
Wo	۴۵.۷٪	۴۵.۴٪	۴۵.۶٪	۴۵.۴٪	۴۵.۷٪	۴۵.۷٪	۴۵.۷٪	۴۵.۷٪	۴۵.۷٪	۴۸.۱٪
En	۴۹.۰٪	۴۹.۱٪	۴۹.۱٪	۴۹.۱٪	۴۹.۱٪	۴۹.۱٪	۴۹.۱٪	۴۹.۱٪	۴۹.۱٪	۴۹.۱٪
Fs	۱۴.۴٪	۱۴.۶٪	۱۴.۲٪	۱۴.۲٪	۱۴.۲٪	۱۴.۲٪	۱۴.۲٪	۱۴.۲٪	۱۴.۲٪	۲۲.۴٪



شکل ۴ طبقه‌بندی پیروکسن‌های مورد بررسی با نمودار J-Q و نمودار مثلثی En-Wo-Fs [13] که غالباً به ترتیب در محدوده پیروکسن‌های Ca-Mg-Fe دیوپسید قرار می‌گیرند.



شکل ۵ ترکیب کلینوپیروکسن‌های مورد بررسی در نمودارهای دو متغیره و سه متغیره؛ الف) نمودار مثلثی- $(Fe^{2+}+Fe^{3+}+Mn)-Mg$ -Ca+K+Na) که بیانگر غنی بودن کلینوپیروکسن‌ها از عناصر آلکالی است؛ ب) نمودار (Na-Mg) نسبت به Fe_{tot} برای بررسی جدایش؛ پ) نمودار (Ca+K+Na) که نشانگر فوگاسیته بالای اکسیژن ماقمای سازنده است؛ ت) نمودار (Na-Mg) نسبت به Na برای $Al^{IV}+Na$ نسبت به $Al^{VI}+2Ti+Cr$ بررسی تفرقی؛ ث) نمودار $Ti^{IV}-Al^{IV}$ که نشانگر غنی نشدن از $CaTiAl_2O_6$ است [۴]؛ ج) نمودار $Na^{IV}Al^{IV}$ نسبت به $2Ti+Al^{VI}+Fe^{3+}+Al^{VI}$ برای نشان دادن جانشینی‌های عنصری.

نسبت به Ti [٢١]، که سری‌های توله‌ایتی و آهکی-قلیایی را از قلیایی جدا می‌کند، کلینوپیروکسن‌های موردن بررسی به سری-های قلیایی تعلق دارند (شکل ٦ الف). از لحاظ محیط تشکیل، می‌توان کلینوپیروکسن‌های تشکیل شده در MORB و توله‌ایت را از قوس آتشفسانی جدا کرد [٢١]. همان طوری که از نمودار Ca نسبت به Ti+Cr پیداست غالباً کلینوپیروکسن‌های موردن بررسی در گستره قوس آتشفسانی ترسیم می‌گردند (شکل ٦ ب).

فشارسنگی کلینوپیروکسن‌ها بر اساس Al^{IV} , Al^{VI} و Ti [۲۴-۲۲] نشان می‌دهد (شکل ۶ پ، ت) که آنها در گستره‌ی نزدیک به گستره‌ی کلینوپیروکسن‌های در فشار پایین قرار دارند؛ کلینوپیروکسن‌های موجود در کلینوپیروکسنت و گابروی کلیر قلیایی در گستره‌ی فشارهای $1-1.5 \text{ GPa}$

بیشتر پژوهشگران علت آن را fO_2 در نظر می‌گیرند. علاوه بر تغییرات fO_2 , پرآلکالینیتی ماگمای شکل گرفته (نه اشباع شدگی از سیلیس) [۱۶] و شانس شرکت‌پذیری Na⁺ و Fe^{3+} [۱۸] در شکل‌گیری پیروکسن‌ها نقش مهمی دارند. در مورد کلینوپیروکسن‌های مورد بررسی، چنانکه از نمودار $VIAl+2Ti+Cr$ نسبت به $IVAl+Na$ [۱۹] پیداست، گریزندگی بالای اکسیژن برای آنها در طول تبلور قابل تصور است (شکل ۵ پ). به منظور تعیین ماهیت ماگمای خاستگاه کلینوپیروکسن-های مورد بررسی، از نمودارهای مختلف استفاده شد. [۲۰] نمودار مثلثی $(Fe^{2+}+Fe^{3+}+Mn)-(Ca+K+Na)-Mg$ (شکل ۵ الف) را برای جدایش سریهای ماگمایی به کار بردۀ است؛ ماگمای سازنده‌ی کلینوپیروکسن‌های مورد بررسی بر این اساس، قلیایی بهنجار و $Ca+Na$ پرقلیایی، می‌باشد (شکل ۵ الف). بر اساس نمودار

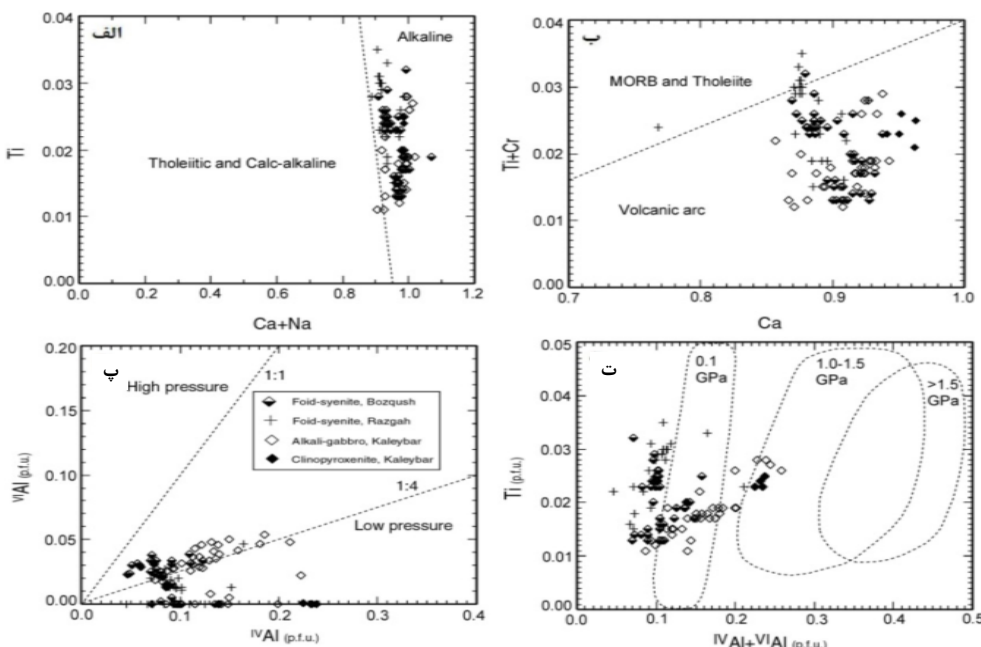
[$(\text{Fe}_{\text{tot}}/\text{Fe}_{\text{tot}}+\text{Mg})=0.40-0.65$] و نسبت آهن [$\text{Fe}^{3+}/(\text{Fe}^{3+}+\text{Fe}^{2+})=0.20-0.25$] در آمفیبول‌هایی که در فشارسنگی به کار می‌روند بایستی در نظر گرفته شوند تا دقیق نتایج بالاتر باشد. با این وجود، برای به دست آوردن برآوردهایی از فشار تشکیل سنگ‌های مورد بررسی، فشارسنگی بر اساس مقدار Al در آمفیبول‌ها در دماهای ۷۰۰-۷۵۰ درجه‌ی سانتیگراد صورت گرفت؛ بر این اساس، گستره فشاری ۶.۷-۸.۷ kb برای نفلین سینیت‌ها و قلیایی‌گابروهای کلیبر و ۵.۹-۷.۸ kb برای نفلین سینیت بزقوش بنابر درجه بندی‌های مختلف [۲۹-۲۷] به دست آمد است (شکل ۷ ب).

بر اساس مقادیر Al و Ti آمفیبول‌ها نیز می‌توان تخمینی از فشار و حرارت تبلور یا تعادل نهایی سنگ‌های آذرین به دست آورد [۳۰]. مقدار میانگین TiO_2 و Al_2O_3 آمفیبول‌ها در گابروی قلیایی کلیبر به ترتیب ۲/۴ و ۱۳/۵ درصد؛ در نفلین سینیت کلیبر به ترتیب برابر با ۲/۵ و ۱۳ درصد؛ و در آمفیبول‌های بزقوش به ترتیب برابر با ۳/۴ و ۱۲ درصد به دست آمداند. بر این اساس، دمای در حدود ۸۹۰-۹۰۰ درجه‌ی سانتیگراد و فشار به ترتیب ۷/۵ و ۸ کیلوبار برای نفلین سینیت و گابروی قلیایی کلیبر؛ و دما ۹۷۰ درجه سانتیگراد و فشار در حدود ۴/۹ کیلوبار برای نفلین سینیت بزقوش برآورد می‌شود (شکل ۷ الف).

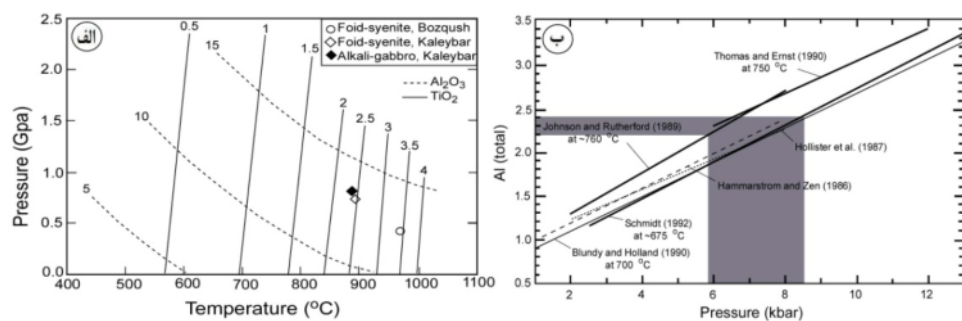
(معادل ۱۰ تا ۱۵ کیلوبار) ترسیم می‌شوند که به نظر می‌رسد به تشکیل آنها در فشارهای بالاتر نسبت به کلینوپیروکسن‌های رزگاه و بزقوش اشاره دارد.

در توده‌های سینیتی نفلین‌دار و گابروهای قلیایی همراه آن‌ها، ترکیب آمفیبول‌ها از کاتوفوریت و هورنبلند فروپارگازیتی تا هستینگزیت تغییر می‌کند و این روند به عنوان روند ماگمای اوایله میاسکیتی شناخته شده است [۱۶]. با توجه به ترکیب آمفیبول‌های مورد بررسی روند یاد شده برای فوئید سینیت‌های بزقوش و کلیبر صدق می‌کند. همچنین در این روند کاهش نسبت Mg/Fe در مقادیر ثابت Si/Al و Ca/Al صورت می‌گیرد و غنی شدگی سدیم در آمفیبول‌ها مشاهده نمی‌شود. با توجه به اینکه تغییرات در $\text{P}_{(\text{H}_2\text{O})}$ حین تبلور می‌تواند باعث حضور حاشیه‌ها یا همرشدی‌های آمفیبول روی پیروکسن باشد [۲۵]؛ به نظر می‌رسد که این تغییرات در تبلور سنگ‌های رزگاه وجود نداشته یا تاثیری در تشکیل کانی‌های آبداری چون آمفیبول نگذاشته است. در عین حال، فعالیت بالاتر F باعث می‌شود که آمفیبول نسبت به پیروکسن پایدارتر باشد [۵].

با استفاده از مقدار Al موجود در آمفیبول می‌توان فشار تبلور یا تعادل نهایی را تعیین کرد. برای این کار، آمفیبول‌های مورد بررسی ممکن است شرایط کاملاً مناسب نداشته باشند؛ چرا که به اعتقاد [۲۶] مقادیر عدد آهن



شکل ۶ تعیین سری ماقمایی و شرایط محیط تشکیل کلینوپیروکسن‌های مورد بررسی؛ (الف و ب) نمودارهای [۲۱] برای تعیین سری ماقمایی و محیط زمین‌ساختی؛ (پ، ت) تعیین فشار تشکیل پیروکسن‌ها بر اساس مقادیر Al و Ti [۲۴، ۲۳].



شکل ۷ دما - فشارسنجی توده‌ی آذرین کلیبر و بزقوش بر اساس مقدار Al و Ti در آمفیبول‌ها؛ (الف) میزان فشار و دمای توده‌ها بر اساس مقادیر آmfibol‌ها [۳۰]؛ (ب) منطقه‌ی خاکستری بیانگر گستره‌ی فشار توده‌ها بر اساس مقادیر Al در آmfibol‌ها را نشان می‌دهد [۲۶].

- [2] Giret A., Bonin B., Leger J.M., "Amphibole compositional trends in oversaturated and undersaturated alkaline plutonic ring complexes", Canadian Mineralogist 18 (1980) 481–495.
- [3] Strong D.F., Taylor R.P., "Magmatic-subsolidus and oxidation trends in composition of amphiboles from silica-saturated peralkaline igneous rocks", Tschermaks Mineralogische und Petrographische Mitteilungen 32 (1984) 211–222.
- [4] Dorais M.J., "Compositional variations in pyroxenes and amphiboles of the Belknap Mountain complex, New Hampshire: evidence for the origin of silica saturated alkaline rocks", American Mineralogist 75 (1990) 1092–1105.
- [5] Coulson I.M., "Evolution of the North Qôroq centre nepheline syenites, South Greenland: alkali-mafic silicates and the role of metasomatism", Mineralogical Magazine 67 (5) (2003) 873–892.
- [6] Vuorinen J.H., Halenius U., Whitehouse M.J., Mansfeld J., Skelton A.D.L., "Compositional variations (major and trace elements) of clinopyroxene and Ti-andradite from pyroxenite, ijolite and nepheline syenite, Alnf Island, Sweden", Lithos 81 (2005) 55–77.
- [7] باباخانی ع.، امینی آذر ر.، گزارش عملیات اکتشافی بر روی توده نفلین سینیتی کلیبر به عنوان ماده اولیه تولید آلمینیا، شیشه، سرامیک و سنگهای تزئینی و نما، سازمان زمین شناسی کشور، شرکت توسعه علوم زمین (۱۳۷۳) ۷۵ ص.
- [8] شهریار و.، "بررسی‌های پترولوری و پتروگرافی توده نفوذی بزقوش، جنوب سراب"، پایان‌نامه کارشناسی ارشد، دانشکده علوم طبیعی، دانشگاه تبریز (۱۳۸۴) ۱۰۷ ص.
- [9] اشرفی ن.، عامری ع.، جهانگیری ا.، هسیب ن.، ایی ن.، "شیمی گارنت‌های توده آذرین قلیایی کلیبر، شمال غرب ایران"، مجله بلورشناسی و کانی شناسی ایران، ۳ (۱۳۸۸) ۳۶۸–۳۵۷.
- [10] اشرفی ن.، جهانگیری ا.، عامری ع.، هسیب ن.، ایی ن.، "شیمی کانی بیوتیت در توده‌های آذرین قلیایی بزقوش و کلیبر، شمال غرب ایران"، مجله بلورشناسی و کانی شناسی ایران، ۳ (۱۳۸۸) ۳۹۴–۳۹۳.

برداشت

آmfibol‌های بررسی شده از توده‌های آذرین قلیایی کلیبر و بزقوش دارای ترکیب هورنبلند منیزیوهستنگریتی تا فروپارگازیتی است که به ترکیب آmfibol توده‌های قلیایی میاسکیتی و نفلین بهنجار شباht دارند. آmfibol‌های کلیبر نسبت به بزقوش از لحاظ Ca^{IV}Al غنی بوده و جانشینی $\text{Ca}^{IV}\text{Al}=\text{SiNa}$ در بین آنها مهم بوده است. کلینوپیروکسن‌ها از نوع دیوپسید بوده و با توجه به نسبت‌های اتمی En و Fs تغییرات در ترکیب اعضای نهایی غالباً شامل تبدال En و $\text{M}^2\text{Na}^{\text{M}^1}\text{Fe}^{3+}$ است. همچنین جانشینی Fs ترکیب آmfibol‌ها و کلینوپیروکسن‌ها بیانگر جدا شدن آنها از یک مagma میاسکیتی قلیایی (نه پرآلکالان) وابسته به قوس-های آتسفاشانی در فشارهای نسبتاً پایین است. دما-فسارسنجی آmfibol‌ها بر اساس مقدار Al و Ti، فشارهای 7 ± 1 kbar و دمای ۹۰۰±۱۰۰ درجه‌ی سانتیگراد را نشان می‌دهد. در مورد توده رزگاه، چنانکه ترکیب کلینوپیروکسن‌ها نشان می‌دهد؛ فشارهای پایین تبلور برای آن قابل تصور است؛ همچنین رخداد سودولوسمیت نیز فشاری حدود ۲ کیلوبار [۳۱] برای تشکیل آن در توده رزگاه پیشنهاد می‌کند.

قدرتانی

نویسنده‌گان مقاله از سر دبیر و داوران محترم مجله، به خاطر نظرات و پیشنهادات سازنده شان، کمال تشكر و قدردانی را دارند.

مراجع

- [1] Deer W.A., Howie R.A., Zussman J., "An introduction to the rock forming minerals", Second Edition, Longman, London, (1992) 696 p.

- [21] Leterrier J., Maury R.C., Thonon P., Girad D., Marchel M., “*Clinopyroxene composition as a method of identification of the magmatic affinities of paleo-volcanic series*”, Earth and Planetary Science Letters 59 (1982) 139–154.
- [22] Wass S.Y., “*Multiple origins of clinopyroxenes in alkali basaltic rocks*”, Lithos 12 (1979) 115-132.
- [23] Steward R.B., Price R.C., Schmitt I.E.M., “*Evolution of high-K arc magma, Egmont volcano, Taranaki, New Zealand: evidence from mineral chemistry*”, Journal of Volcanology and Geothermal Research 74 (1996) 275-295.
- [24] Lassen B., “*Petrogenesis of the late Archean Quetico alkaline suite intrusions, Western Superior province, Canada*”, Ph.D. thesis, University of Ottawa, Canada (2004) 240 pp.
- [25] Parsons I., Mason R.A., Becker S.M., Finch A.A., “*Biotite equilibria and fluid circulation in the Klokken intrusion*”, Journal of Petrology 32 (1991) 1299-1333.
- [26] Anderson J.L., Smith D.R., “*The effects of temperature and fO_2 on the Al-in-hornblende barometer*”, American Mineralogist 80 (1995) 549–559.
- [27] Johnson M.C., Rutherford M.J., “*Experimental calibration of the aluminum-in-hornblende geobarometer with application to Long Valley caldera (California)*”, Geology 17 (1989) 837-841.
- [28] Blundy J.D., Holland T.J.B., “*Calcic amphibole equilibria and a new amphibole-plagioclase geothermometer*”, Contributions to Mineralogy and Petrology 104 (1990) 208–224.
- [29] Schmidt M.W., “*Amphibole composition in tonalite as a function of pressure: An experimental calibration of the Al-in-hornblende barometer*”, Contribution to Mineralogy Petrology 110 (1992) 304–310.
- [30] Ernst W.G., Liu J., “*Experimental phase-equilibrium study of Al- and Ti-contents of calcic amphibole in MORB- A semiquantitative thermobarometer*”, American Mineralogist 83 (1998) 952-969.
- [31] Lünel A.T., Akiman O., “*Pseudoleucite from Hamitköy area, Kaman, Kırşehir occurrence and its use as a pressure indicator*”, Bulletin of the Mineral Research and Exploration (1986) 29-35.
- [11] Leake B.E., Woolley A.R., Arps C.E.S., Birch W.D., Gilbert M.C., Grice J.D., Hawthorne F.C., Kato A., Kisch H.J., Krivovichev V.G., Linthout K., Laird J., Mandarino J.A., Maresch W.V., Nickel E.H., Rock N.M.S., Schumacher J.C., Smith D.C., Stephenson N.C.N., Ungaretti L., Whittaker E.J.W., Youzhi G., “*Nomenclature of amphiboles: report of the subcommittee on amphiboles of the international mineralogical association, Commission on new minerals and minerals name*”, American Mineralogist 82 (1997) 1019–1037.
- [12] Schumacher J.C., “*The estimation of ferric iron in electron microprobe analysis of amphiboles*”, Mineralogical Magazine 61 (1997) 312-321.
- [13] Morimoto N., “*Nomenclature of pyroxenes*”, Canadian Mineralogist 27 (1989) 143–56.
- [14] Gibb F.G.F., “*The zoned clinopyroxenes of the Shiant Isles sill, Scotland*”, Journal of Petrology 14 (1973) 203–230.
- [15] Moazzen M., Oberhänsli R., “*Whole rock and relict igneous clinopyroxene geochemistry of ophiolite-related amphibolites from NW Iran – Implications for protolith nature*”, Neues Jahrbuch für Mineralogie Abhandlungen 185 (1) (2008) 51–62.
- [16] Mitchell R.H., Platt R.G., “*Mafic mineralogy of ferroaugite syenite from the Coldwell alkaline complex, Ontario, Canada*”, Journal of Petrology 19 (1978) 627-651.
- [17] Stephenson D., Upton B.G.J., “*Ferromagnesian silicates in a differentiated alkaline complex: Kūngnāt Fjeld, South Greenland*”, Mineralogical Magazine 46 (1982) 283-300.
- [18] Piilonen P.C., McDonald A.M., Lalonde A.E., “*The crystal chemistry of aegirine from Mont Saint-Hilaire, Quebec*”, Canadian Mineralogist 36 (1998) 779-791.
- [19] Schweitzer E.L., Papike J.J., Bence A.E., “*Statistical analysis of clinopyroxenes from deep-sea basalts*”, American Mineralogist 64 (1979) 501–513.
- [20] Le Bas M.J., “*The role of aluminium in igneous clinopyroxenes with relation to their parentage*”, American Journal of Science 260 (1962) 267–288.